

Ba - Mo

$\text{Y}_2(\text{MoO}_4)_3$

VIII - 4719

1926

$\text{BaMoO}_4$ ;  $\text{CaMoO}_4$ ;  $\text{Zn}(\text{MoO}_4)_3$ ;  $\text{SrMoO}_4$  ( $H_7-H_8$ )

Cane E.,

Rend. accad. sci. fis. mat (Clas. soc. real Napoli), 1926, 32, 2.

Ricerche calorimetriche su alcuni sali.

○ 5 ~~O~~

Kernu N° 584.

H 1579

1953

Baileya (Rp)

Ramana R.D. V.

Current. Sci. 1953, 22, no. 274

Ans.

P.L., 1955, no. 16117

IX 1581

1953

Bamboo (17p)

Rao D.V.R.,

Current Sci., 1953, 22, 274.

Aug

P.A., 1954, 9156c

VII 989 1956

$\text{MoO}_3$ ,  $\text{BaMoO}_4$ ,  $\text{ZnMoO}_4$ ,  
 $\text{NiMoO}_4$ ,  $\text{CoMoO}_4$  (Ttr)

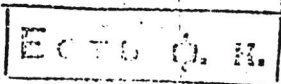
Trambouze Y., Colleuille Y.,  
Tran Huu The

C.r.Acad.sci., 1956, 242, N4, 497-98.

Sur l'existence d'une transformation  
d'ordre supérieur de l'anhydride molybdique  
et des molybdates.

RX., 1957, 43984

Be



БРП IX-2644 1960

BaMoO<sub>4</sub>  
BaMoO<sub>3</sub>

8Б377. Равновесие с водородом и термодинамические характеристики BaMoO<sub>4</sub> и BaMoO<sub>3</sub>. Лаврентьев В. И., Герасимов Я. И., Резухина Т. Н. «Докл. АН СССР», 1960, 133, № 2, 374—376.—В интервале т-р 1200—1400° циркуляционным методом (РЖХим, 1960, № 23, 91518) изучалось равновесие BaMoO<sub>4</sub> с водородом. Восстановление идет через образование BaMoO<sub>3</sub>. Комбинированием  $\Delta Z^0$  р-ций восстановления молибдата с  $\Delta Z^0$  р-ции образования водяного пара для  $BaO + Mo + O_2 \rightarrow BaMoO_3$  (1) и  $BaO + Mo + \frac{3}{2}O_2 \rightarrow BaMoO_4$  (2) для интервала 1200—1400° получено для р-ции (1)  $\Delta Z^0 = -173\ 020 + 49,19 T$  ккал и для р-ции (2)  $\Delta Z^0 = -224\ 070 + 65,58 T$  ккал. Для р-ции (2) вычислены также  $\Delta Z_{298}^0 = -229,5$  ккал,  $\Delta H_{298}^0 = -251,2$  ккал, а стандартная энтропия BaMoO<sub>4</sub> получена равной 24,2 энтр. ед.

Р. Резухина

≈ 1961-8

VII 1045 1961

$\Delta Z$  ( $CdWO_4$ ,  $SrWO_4$ ,  $NiWO_4$ ,  
 $BaMoO_4$ ,  $CoWO_4$ ,  $PbWO_4$ ,  
 $ZnWO_4$ ,  $SzMoO_4$ )

Жаркова Л.А., Герасимов Я.И.

Х.Физ.химии, 1961, 35, № 10, 2291-96.

Приближенный расчёт термодинам. характеристик  
вольфраматов и молибдагов двувалентных  
металлов.

Est/orig.

RX., 1962, 14 № 285

M

IX 2570

1964

SrMoO<sub>3</sub>, BaMoO<sub>3</sub> ( $\Delta^1\text{He}$ ,  $\Delta^1\text{H}$ ,  $\Delta^2\text{D}$ )

Якимчук А.Н., Діректор 11.5,

№е. опус. хрон. 1964, 38, №3,

252 - 254

M

P. X., 1964, 215337

еско open

IX 2572

1964

Sr Mo O<sub>3</sub> γ · Ba Mo O<sub>3</sub> γ · δ Mf

Чаркова А.А., Барановская Н.Г.

Ж. физ. Усср., 1964, 38, 600.

M

P. Chem., 1965, 66, N 54

IX - 1158

1969

Mg<sub>2</sub>Mo<sub>4</sub>, Mg<sub>2</sub>Mo<sub>3</sub>, CaMo<sub>4</sub>, CaMo<sub>3</sub>,  
SrMo<sub>4</sub>, SrMo<sub>3</sub>, BaMo<sub>4</sub>, BaMo<sub>3</sub>

(Кристалл. термоизн. изучение обраzuемого)

Резюмируя Т.Н., лебединкин В.А.,

Угл. Акад СССР. Сеп. Кеоргий. Материалы,  
1967, 3, VI, 138-145

M есто оре

Хроматы, моибант,  $(SH^{\circ} 298)$  1968  
Болцерратиты Be, лег,  $(DG^{\circ} 298)$  IX 30.42  
Ca, Sr, Ba, Ra.

② Кодзар - Зеленко В.А., 1968  
Лекокрист., Сукичев. опр. № -  
смешанных, 1968, № 3, 202-12 (русск.)

Сравнительные расчёты  $SH^{\circ} 2984$   
 $DG^{\circ} 298$  хроматов, моибантов,  
Болцерратитов, уратовитов,  
кальциево-берилловых в серии  
смесей с антибиотиками  
(см. оригинал) CA, 1970; № 3, 120, 102691а

BaMoO<sub>4</sub>, BaWO<sub>4</sub>(OH<sub>v</sub>) 9 18731 1968

Pupp C., Yamdagni R., Parker R. F.

U.S. Clearinghouse Fed. Sci. Tech. Inform.

AD-1968, AD-643008, 26 pp.

Mass spectrometric study of the  
evaporation of BaMoO<sub>4</sub> and BaWO<sub>4</sub>.

5 ⑥ 6

CA, 1969, 20, N20, S1382K

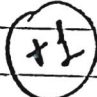
1968

BaMoO<sub>4</sub>(g)

91382k Mass spectrometric study of the evaporation of Ba-Mo-O<sub>3</sub> and Ba-W-O<sub>4</sub>. Pupp, C.; Yamdagni, R.; Porter, Richard F. (Cornell Univ., Ithaca, N.Y.). U.S. Clearinghouse Fed. Sci. Tech. Inform., AD 1968, AD-677008, 26 pp. (Eng). Avail. CFSTI. From U.S. Govt. Res. Develop. Rep. 1969, 69(1), 60. Mass spectrometric studies indicate that Ba molybdate and Ba tungstate salts evap. mainly mol. BaMoO<sub>4</sub> (g) and BaWO<sub>4</sub> (g), resp. The importance of ion fragmentation processes occurring in the mass spectrometer were established from appearance potential measurements and the variations in relative ion intensities with condensed phase compn. Third-law calcns. give for the dissociation reactions: BaMoO<sub>4</sub> (g) = BaO (g) + MoO<sub>3</sub> (g),  $\Delta H$  129.7 ± 4.0; BaMoO<sub>3</sub> (g) = BaO (g) + MoO<sub>2</sub> (g),  $\Delta H$  132.2 ± 6.0; BaWO<sub>4</sub> (g) = BaO (g) + WO<sub>3</sub> (g),  $\Delta H$  148.3 ± 4 kcal. The heats of vaporization of liq. BaMoO<sub>4</sub> and BaWO<sub>4</sub> at 2000°K. are 83.5 and 93.7 ± 4 kcal./mole, resp.

TCVL

C.A. 1969. 70. 20



3026 CaMoO<sub>4</sub>-LiCl; CaMoO<sub>4</sub>-KCl,

1969

CaMoO<sub>4</sub>-RbCl, CaMoO<sub>4</sub>-CsCl;

SrMoO<sub>4</sub>-MCl; BaMoO<sub>4</sub>-MCl

M = Li, K, Rb, Cs

Родын А.В., Краскова А.И., ~~Род~~ Коршунов И.А.

Мп. хим. технол., 1969, N.3, 43-45

(cp)

САГИ

BP - 732 - IX

1969

BaMo<sub>4</sub>

2 Б768. Масс-спектрометрическое изучение испарения BaMoO<sub>4</sub> и BaWO<sub>4</sub>. Pupp C., Yamdagni R., Porter Richard F. Mass spectrometric study of the evaporation of BaMoO<sub>4</sub> and BaWO<sub>4</sub>. «J. Inorg. and Nucl. Chem.», 1969, 31, № 7, 2021—2029 (англ.)

С помощью изменения состава конденсированной фазы и измерения относит. интенсивности линий масс-спектра и потенциалов появления ионов, показано, что при испарении молибдата и вольфрамата Ba образуются, главным образом, молекулы BaMoO<sub>4</sub> (г) и BaWO<sub>4</sub> (г). Теплоты испарения BaMoO<sub>4</sub> (ж) и BaWO<sub>4</sub> (ж) при 2000° равны -83,5 и 93,7±4 ккал/моль, соотв. Термодинамич. расчеты дали для р-ций диссоциации:

$$\text{BaMoO}_4 \rightleftharpoons \text{BaO} \text{ (г)} + \text{MoO}_3 \text{ (г)}, \quad \Delta H_0^0 = 129,7 \pm 4,0;$$
$$\text{BaMoO}_3 \text{ (г)} \rightleftharpoons \text{BaO} \text{ (г)} + \text{MoO}_2 \text{ (г)}; \quad \Delta H_0^0 = 132,2 \pm 6,0;$$
$$\text{BaWO}_4 \text{ (г)} \rightleftharpoons \text{BaO} \text{ (г)} + \text{WO}_3 \text{ (г)}, \quad \Delta H_0^0 = 148,3 \pm 4,0 \text{ ккал.}$$

И. Г. Городецкий

+1

X. 1970. 2

18

1969

Ba Mo O<sub>4</sub>B9 - 782 - IX

(106019u) Mass-spectrometric study of the evaporation of barium molybdate and barium tungstate. Pupp, Christian; Yamdagni, R.; Porter, Richard F. (Cornell Univ., Ithaca, N.Y.). *J. Inorg. Nucl. Chem.* 1969, 31(7), 2021-9 (Eng). See *CA* 70: 91382k.

VNJZ

P  
Hg

C.A.

1969.71.22



$\text{MnO}_3 \text{ с } \text{XCO}_3 \text{ и } \text{XO}$  (стабилизатор) 1969  
 $\text{X} = \text{Ca}, \text{Mg}, \text{Sr}, \text{Ba}$  9 IX 287

Жуковский В.М., Петров А.Н.,

ЖЕ. физ. хим., 1969, № 12, 3050-3 (рук.)

Переходнический анализ  
реакций в твёрдой среде между  
окисью цинка и окисью с окислами  
и карбонатами цинковых -  
переходных металлов.

M V

СА, 1970, № 2, 186, 83539.

1970

Ba MoO<sub>4</sub>Ba WO<sub>4</sub>Кристаллы  
структур

Х. 1990.

12 Б712. Кристаллические структуры Ва-молибдата и Ва-вольфрамата. Быличкина Т. И., Соловьева Л. И., Победимская Е. А., Порай-Кошиц Н. А., Белов Н. В. «Кристаллография», 1970, 15, № 1, 165—167

Проведено гониометрич. и структурное исследование молибдата (I) и вольфрамата (II) Ва, полученных гидротермальным методом. Параметры решетки II  $a = 5,614$ ,  $c = 12,719$  уточнены по дифрактограммам. Уточнение параметров I проведено по разверткам слоевых линий  $a = 5,62$ ,  $c = 12,82$  Å,  $I = 4/a$ ,  $Z = 4$ . Структуры исследованы методом проекций, уточнение проведено МНК ( $R_{hol} = 16$  и 14% для II и I соотв.). Обе структуры относятся к типу шеелита.

Автореферат

12

+1



BaO-2 MoO<sub>3</sub>

ВГТ-17-2967 1970

4 Б881. Система MoO<sub>3</sub>—BaO. Устинов О. А., Но-  
воселов Г. П., Адрианов М. А., Чебота-  
рев Н. Т. «Ж. неорганической химии», 1970, 15, № 9,  
2552—2554

Термографическим и рентгенографич. методами ис-  
следована диаграмма состояния системы MoO<sub>3</sub>—BaO  
в интервале конц-ий BaO от 0 до 50 мол. %. В изученном  
интервале составов установлено существование соеди-  
нения BaO·2MoO<sub>3</sub>, инконгруэнтно плавящегося при  
~715°, и подтверждено существование молиодата BaO·  
·MoO<sub>3</sub>. Установлено также наличие одной эвтектики, об-  
разующейся при т-ре ~640° при содержании BaO  
~18,9 мол. %.

Резюме

X. 1971. 4

$\text{Ba}_2\text{Mg}_2\text{O}_7$ ,  $\text{Mg}_2\text{SiO}_5\text{O}_n$  ( $T_{\text{minc}}$ ) 9 (X 24771970)

Жуковский В.Н., Ткаченко Е.В.  
Ракова Т.Ю.

ДН. Неорган. минерал., 1970, 15, № 2, 3326-3323

О географии магнезиальных минералов  
 $\text{MgO}_3 - \text{Mg}_2\text{SiO}_4$  ( $\text{Mg} - \text{Mg}_2\text{O}_3, \text{Si}, \text{B}_2\text{O}_5$ ) 7

ДН. Класс., 1971

75954



590

$n_{\text{P}2\text{O}_5 \cdot \text{MnO}_3}$ ;  $n_{\text{MgO} \cdot \text{MnO}_3}$ ;  $n_{\text{CaO} \cdot \text{MnO}_3}$ ;  $n_{\text{SrO} \cdot \text{MnO}_3}$ ;  $n_{\text{BaO} \cdot \text{MnO}_3}$   
(off, s, Cp) 18-3987

Луковский В. М., Дегтярёв  
Т. М., Ил. ксопрдн. зеэл.  
1972, 17, N 3, 689-95

MB5 (9)

CA72

1871

Xapauus epucu.uchapepusCuculusBaO-Mo

= =

90985w Characteristics of the vaporization of a barium oxide film from a molybdenum substrate dependent on temperature and the extent of covering. Shul'man, A. P.; Kirsanova, T. S. (Leningr. Politekh. Inst. im. Kalinina, Leningrad, USSR). *Izv. Vyssh. Ucheb. Zaved., Fiz.* 1971, 14(10), 99-103 (Russ). Vaporization characteristics of the BaO-Mo system obtained by the sputtering of BaO on a heated Mo ribbon were studied. The rate of vaporization is higher than that for sputtering on an unheated ribbon but the film's activity is retained over a wide temp. range. At each temp. only a part of the film vaporizes, the part increasing with increasing temp. The effect of the extent of coating  $\theta$  on the amt. of film vaporized was studied. For  $\theta < 1$  the film vaporizes completely, but for  $\theta > 1$  vaporization is incomplete. Part of the BaO dissocts. and is not recorded. The heat of vaporization has the following dependence on temp:  $\Delta\lambda/\Delta T \sim 10^{-3}$  eV/degree.

C-A-1872-76-16

# BaMoO<sub>4</sub>; Ba<sub>3</sub>MoO<sub>6</sub>

1972

Д 6 Б811. Диаграмма состояния системы BaMoO<sub>4</sub>—BaO. Янушкевич Т. М., Жуковский В. М. «Изв. АН СССР. Неорган. материалы», 1972, 8, № 11, 2039—2040

Рентгенографическим и визуально-политермич. методами изучены фазовые соотношения в системе BaMoO<sub>4</sub>—BaO и построена ее диаграмма плавкости. В

(T<sub>m</sub>)

системе существуют два конгруэнтно плавящихся соединения BaMoO<sub>4</sub> и Ba<sub>3</sub>MoO<sub>6</sub> с т. пл. 1457 и 1553° соответ. Соединение Ba<sub>2</sub>MoO<sub>5</sub> плавится с разл. по перитектич. р-ции при 1300°. В системе имеются две эвтектики. Эвтектика между BaMoO<sub>4</sub> и Ba<sub>2</sub>MoO<sub>5</sub> плавится при т-ре 1220° и имеет состав 59,5—60,0 мол.% BaO. Соединение Ba<sub>3</sub>MoO<sub>6</sub> образует эвтектику с BaO состава ~83 мол.% BaO с т. пл. 1535°.

Автореферат

X. 1973. N6

BaO·MoO<sub>3</sub> (mb)

1973

Barin Y., et al

Mass I, cm.p. 86

298-1200

● (see AGF) I

1974

\* 4-5259

BaMoO<sub>4</sub>BaMoO<sub>3</sub>

19 Б893. Термохимия молибдатов. III. Стандартная энталпия образования молибдата бария, стандартные энтропия и энергия Гиббса образования молибдат-иона в водном растворе. О'Харе Р. А. G. Thermochimistry of molybdates. III. Standard enthalpy of formation of barium molybdate, and the standard entropy and standard Gibbs energy of formation of the aqueous molybdate ion. «J. Chem. Thermodyn.», 1974, 6, № 5, 425—434 (англ.)

Калориметрически измерена энталпия осаждения молибдата бария BaMoO<sub>4</sub> (I) и рассчитана станд. энталпия образования при 298° К  $\Delta H^\circ = -369,41 \pm 0,46$  ккал/моль. С использованием лит. данных рассчитана  $\Delta H^\circ$  (обр BaMoO<sub>3</sub>) при 298° К, равная  $-295,1 \pm 1,8$  ккал/моль. Также рассчитаны станд. энтропия ( $7,0 \pm 2,4$  э. с.) и энергия Гиббса ( $-199,82 \pm 0,70$  ккал/моль) образования молибдат-иона в воде. р-ре при 298° К и станд. электродный потенциал пары  $\text{Mo/MoO}_4^{2-} E^\circ = 0,910 \pm 0,005$  в. Сообщ. II РЖХим, 1974, 14Б819.

Резюме

4653

IX -

Б893

X. 1974

N 19

 $\Delta S_{298}; \delta f;$ (41)  $\text{MoO}_4^{2-}$

1974

F 45-5259

BaMoO<sub>4</sub>  
BaMoO<sub>3</sub>

30550u Thermochemistry of molybdates. III. Standard enthalpy of formation of barium molybdate, and the standard entropy and standard Gibbs energy of formation of the aqueous molybdate ion. O'Hare, P. A. G. (Chem. Eng. Div., Argonne Natl. Lab., Argonne, Ill.). *J. Chem. Thermodyn.* 1974, 6(5), 425-34 (Eng). The enthalpy of pptn. of BaMoO<sub>4</sub> from an alk. soln. of BaCl<sub>2</sub> was measured in a soln. calorimeter. The std. enthalpy of formation,  $\Delta H_f^\circ$  (BaMoO<sub>4</sub>, s, 298-15°K), is  $-(369.41 \pm 0.46)$  kcal mole<sup>-1</sup>. By combining this result with literature data,  $\Delta H_f^\circ$  (BaMoO<sub>3</sub>, s, 298.15°K) was calcd. along with values for the enthalpies of vaporization of BaMoO<sub>3</sub> and BaMoO<sub>4</sub>. Based on solv. and thermodn. data for BaMoO<sub>4</sub>, the std. entropy and std. Gibbs energy of formation of the molybdate ion ( $\text{MoO}_4^{2-}$ ) were deduced to be  $(7.0 \pm 2.4)$  cal degree<sup>-1</sup> mole<sup>-1</sup> and  $-(199.82 \pm 0.70)$  kcal mole<sup>-1</sup>, resp. The std. electrode potential of the Mo|MoO<sub>4</sub><sup>2-</sup> couple is  $(0.910 \pm 0.005)$  V.

$\Delta H_f$ ,  $\Delta H_v$

C.A. 1974, 81, N4



B9P

IX-4653

BP-4659-1X

1974

BaMoO<sub>4</sub>

96843y Magnesium molybdate-calcium molybdate, magnesium molybdate-strontium molybdate, and magnesium molybdate-barium molybdate systems. Zhukovskii, V. M.; Tkachenko, E. V.; Petrosyan, Yu. G. (Ural. Gos. Univ. im. Gor'kogo, Sverdlovsk, USSR). *Zh. Neorg. Khim.* 1974, 19(6), 1637-40 (Russ). The title phase diagrams were detd. by DTA, visual-polymorphic, and x-ray anal. together with elec. cond. and d. measurements. All systems are simple eutectics with eutectic points at  $1201 \pm 3$ ,  $1159 \pm 3$ , and  $1098 \pm 3^\circ$  and 65, 64.9, and 55 mole % MgMoO<sub>4</sub> [13767-03-8] for CaMoO<sub>4</sub>, SrMoO<sub>4</sub>, and BaMoO<sub>4</sub> systems, resp. A polymorphic transition of BaMoO<sub>4</sub> [7787-37-3] occurs at  $1259 \pm 5^\circ$ . The heats of fusion for MMoO<sub>4</sub> (M = Mg, Ca, Sr, Ba) are  $13.7 \pm 0.5$ ,  $20.6 \pm 0.5$ ,  $18.6 \pm 0.3$ ,  $11.4 \pm 0.9$  kcal/mole, resp.

(T<sub>tr</sub>, ΔH<sub>m</sub>)

+3  (ΔH<sub>m</sub>)

C.A. 1974. 81. N16

ВаMoO<sub>4</sub>

Б9Р-4659-IX

1974

20 Б777. Системы MgMoO<sub>4</sub>—MeMoO<sub>4</sub>. Жуковский В. М., Ткаченко Е. В., Петросян Ю. Г. «Ж. неорганической химии», 1974, 19, № 6, 1637—1640

(T<sub>tr</sub>)

Дифференциальными-термическими, визуально-политермическими, рентгенографическими методами анализа в комплексе с измерением электросопротивления и плотности образцов построены фазовые диаграммы систем MgMoO<sub>4</sub>—MMoO<sub>4</sub> (M=Ca, Sr, Ba). Все системы эвтектического типа. В системе MgMoO<sub>4</sub>—BaMoO<sub>4</sub> обнаружено полиморфное превращение BaMoO<sub>4</sub>. С использованием ур-ния Шредера для кривых ликвидуса определены теплоты плавления молибдатов щел.-зем. металлов и магния. Эксперим. зависимости линий солидуса и ликвидуса систем MgMoO<sub>4</sub>—MMoO<sub>4</sub>, т-ры полиморфного превращения BaMoO<sub>4</sub>, а также зависимости плотности от состава обработаны с использованием методов матем. статистики.

По резюме

х. 1974. № 20

IX-5244

1975

Ba MoO<sub>4</sub>, Zn Pb MoO<sub>4</sub>

(фак. диагр.)

Конёккин С.И., Бериский В.Д.,

Киселев А.П.,

Узб. АН ССР. Сер. неорганические  
материя.  
1975, 11, № 12, 2248-2250.



Б

СВ, 1976, 84, № 16, 112341

Ba illo O<sub>4</sub>

1975

Sir deshpande D.B  
et al.

(Tecdis)

Indian J. Phys 1975,  
49(3) 241-3 (eng)

(cu<sub>4</sub> Ba illo O<sub>4</sub>; T)

BaF<sub>2</sub>-BaMoO<sub>4</sub> (разовая  
загрузка) 1975

2NaF·Na<sub>2</sub>MoO<sub>4</sub> (Tm). IX-5266  
Na<sub>2</sub>MoO<sub>4</sub> (Ttr)

Мричин А.С., Штер Т.Е.,  
Косильников А.С.

Ж. неорганической химии, 1975, № 10  
1647-51.

Система Na, Ba//F, MoO<sub>4</sub>.

С.А. 1975. № 16. 137600 д.

Б ©

IX-5323

1976

M0-MoD<sub>3</sub>,

zge M = Ba, Sr, Ca, Ug  
(prej. grupp.)

Күзеб D.,

№. №еprash.

химии,

1976, 21, N5, 1321-1322



Б

IX-5403

1976

MnO<sub>3</sub>-Mn,

zgo. M = Ba, Ca, Sr, Mg  
(alpha flux)

Кузевъ Д.,

Уф. АН ССР. Сеп. неоргик. материалов,  
1976, 12, №, 775-778

CA, 1976, 85, №, 377202

М

BaCd<sub>1</sub>(MoO<sub>5</sub>)  
BaPb<sub>1</sub>(MoO<sub>5</sub>)

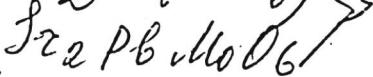
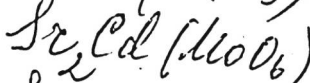
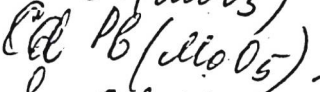
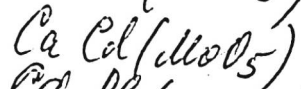
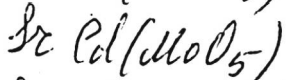
1977

86: 128176e Study of the reaction of alkaline earth metal oxides with cadmium and lead molybdates. Kopeikin, S. I.; Petrova, I. Yu.; Zobnina, A. N.; Kislyakov, I. P. (Mosk. Inst. Tonkoi Khim.-Tekhnol. im. Lomonosova, Moscow, USSR). *Izv. Akad. Nauk SSSR, Neorg. Mater.* 1977, 13(2), 300-3 (Russ). The MO(M = Ca, Sr, Ba)-M'MoO<sub>4</sub> (M' = Cd, Pb) systems were studied by DTA, x-ray phase anal., microvisual-polythermal, and IR spectroscopic methods. All systems contain incongruently melting MM'MoO<sub>5</sub> (BaCdMoO<sub>5</sub> 1405, BaPbMoO<sub>5</sub> 1310, SrCdMoO<sub>5</sub> 1415, SrPbMoO<sub>5</sub> 1300, CaCdMoO<sub>5</sub> 1245, CaPbMoO<sub>5</sub> 1270°) and the BaO and SrO systems, M<sub>2</sub>M'MoO<sub>6</sub> 1590, Sr<sub>2</sub>CdMoO<sub>6</sub> 1695, Sr<sub>2</sub>PbMoO<sub>6</sub> 1615°). Eutectics occur at 1025, 950, 1115, 940, 1045, 960° and CdMoO<sub>4</sub> 71, BaO 29, PbMoO<sub>4</sub> 70.5, BaO 29.5, CdMoO<sub>4</sub> 92, SrO 8, PbMoO<sub>4</sub> 79, SrO 21, CdMoO<sub>4</sub> 82, CaO 18, PbMoO<sub>4</sub> 93, CaO 78 resp.

(Tin)

C.A. 1977, 86 n 18

(cig. Hg cd sp. (+3))



3 varpi

Бадолы Омск 9868 1974

Мруджин А. С., к. гр.

(Tm) Рукомысъ gen. Bussevitsa  
25 февр. 1974, № 750-47  
8 см.

(авт. НауF, I)

1979

*BaCl<sub>2</sub>-BaMoO<sub>4</sub>*

92: 11874p Thermal analysis of the calcium, barium chloride, molybdate system. Gasanaliev, A. M.; Trunin, A. S.; Dibirov, M. A. (Dagest Gos. Pedagog. Inst., Makhachkala, USSR). Ukr. Khim. Zh. (Russ. Ed.) 1979, 45(10), 934-6. (Russ). The Ca, BaCl<sub>2</sub>, MoO<sub>4</sub> system was studied by DTA and visual-polythermal anal. The CaMoO<sub>4</sub>-BaMoO<sub>4</sub> section was not detd. because of the high m.ps. of the components. The BaCl<sub>2</sub>-BaMoO<sub>4</sub> section has a eutectic at 24 equiv.% BaMOO<sub>4</sub> and 220°. No ternary peritectic points were obsd. Multicomponent eutectics occur at 576, 793° and CaCl<sub>2</sub> 62.5, 0, BaCl<sub>2</sub> 36, 72.5, CaMoO<sub>4</sub> 1.5, 8, and BaMoO<sub>4</sub> 0, 19.5 equiv.%.

*pazrbas  
guarfs.*

C.A.1980.92,112

BaMoO<sub>4</sub>

10/28

89: 156666v MMoO<sub>4</sub> molybdates (M = Ca, Sr, Ba or Cd). Meullemeestre, Jean (Ec. Natl. Super. Chim. Strasbourg, Univ. Louis Pasteur, Strasbourg, Fr.). *Bull. Soc. Chim. Fr.* 1978, (3-4, Pt. 1), 95-100 (Fr). A new method is described for the prepn. of MMoO<sub>4</sub>, where M = Ca, Sr, Ba, or Cd. Contrary to other known methods, it is simple and involves the action of MoO<sub>3</sub> on Mo or M(OH)<sub>2</sub> in H<sub>2</sub>O. The absence of well defined hydrates was established. Radiocrystallog. studies of the compds. showed that the H<sub>2</sub>O enclosed in CaMoO<sub>4</sub>, SrMoO<sub>4</sub>, and BaMoO<sub>4</sub> caused an increase in size of 1-3 Å for the unit cell compared to the anhyd. compds. At 1265° BaMoO<sub>4</sub> underwent a reversible endothermic transformation, the nature of which could not be detd.

R. J. Roy

C.A. 1978, 89, N18

Ba<sub>2</sub>Mo<sub>15</sub>Se<sub>19</sub>

Ummeek 14674] 1980

Chevrel R., Potel M.,  
Mouddenne  
et al.

Ttx

Mat. Res. Bull., 1980,  
15, 867-874.

BaMoO<sub>4</sub>

La<sub>2</sub>(MoO<sub>4</sub>)<sub>3</sub>

фазовая  
диагр.

41 12

X. 1980 N 19

1980

19 Б877 Деп. Система BaMoO<sub>4</sub>—La<sub>2</sub>(MoO<sub>4</sub>)<sub>3</sub>. Его-  
рова А. Н., Провоторов М. В., Майер А. А.  
Моск. хим.-технол. ин-т. М., 1980. 6 с., ил., библиогр.  
7 назв. (Рукопись деп. в ВИНИТИ 8 июля 1980 г.,  
№ 2889—80 Деп.)

Построена фазовая диаграмма системы BaMoO<sub>4</sub>—  
La<sub>2</sub>(MoO<sub>4</sub>)<sub>3</sub>. Образующееся в ней соединение состава  
BaLa<sub>2</sub>(MoO<sub>4</sub>)<sub>4</sub> имеет широкую область гомогенности;  
структуру, производную от структуры шеелита (CaWO<sub>4</sub>)  
и кристаллизуется в моноклинной сингонии с парамет-  
рами элементарной ячейки:  $a = 10,790$ ,  $b = 10,610$ ,  $c = 12,770$   
А,  $\gamma = 90,44^\circ$ . В системе существуют три типа тв. р-ров:  
р-р на основе BaMoO<sub>4</sub> (структуря шеелита) — до  
85 мол.% BaMoO<sub>4</sub>; р-р на основе двойного молибдата  
бария и лантана в интервале 50—65 мол.% BaMoO<sub>4</sub>  
(все при 700°) и р-р на основе La<sub>2</sub>(MoO<sub>4</sub>)<sub>3</sub>.

( )

Автореферат

Baillif<sub>6</sub>S<sub>8</sub>

1981

Baillif R., et al.

суперкристаллическое  
однородное  
изделие.

Phys. Rev. Lett., 1981,  
47, N9, 672-675.

(см. Euillif S<sub>8</sub>; 111)

BaMoO<sub>4</sub>

Ommenck 11534

1981

BaV<sub>2</sub>O<sub>6</sub> ✓

Ommenck 15307

Na<sub>2</sub>MoO<sub>4</sub>)

24: 215466h The heats of formation of some sodium and barium vanadates and molybdates. Kubaschewski, Oswald;

Na<sub>2</sub>Mo<sub>2</sub>O<sub>4</sub>)

Hoster, Thomas; Schlim, Roger (Kernbrennst. Theor. Huettenkd., Rheinisch-Westfael. Tech. Hochsch., Aachen, Fed. Rep. Ger.).

Ber. Bunsenges. Phys. Chem. 1981, 85(5), 367-9 (Eng): An isoperibol room-temp. calorimeter was constructed to measure the spontaneous reactions of BaO and Na<sub>2</sub>O with MoO<sub>3</sub> and V<sub>2</sub>O<sub>5</sub> after ignition. The heats of formation were detd. for BaMoO<sub>4</sub>, BaV<sub>2</sub>O<sub>6</sub>, Na<sub>2</sub>MoO<sub>4</sub>, Na<sub>2</sub>Mo<sub>2</sub>O<sub>7</sub>, and Na<sub>3</sub>VO<sub>4</sub>.

(ΔHf)

(+3), ✓

c.v. 1981. 24 n 26

BaMoO<sub>2</sub>

1977 13 7.99

1982

) 15 Б678. Масс-спектрометрическое определение стабильности газообразных молекул BaMoO<sub>2</sub>, Ba<sub>2</sub>MoO<sub>4</sub>, Ba<sub>2</sub>MoO<sub>5</sub>, Ba<sub>2</sub>Mo<sub>2</sub>O<sub>8</sub>. Кудин Л. С., Балдуччи Дж. Джильи Т., Гвидо М. «Изв. вузов. Химия и хим. технол.», 1982, 25, № 3, 259—263.

При испарении BaCrO<sub>4</sub> наряду с основными ионами Cr<sup>+</sup> (656±40), Ba<sup>+</sup> (521±40), BaO<sup>+</sup> (733±40) зарегистрированы также ионы BaMoO<sub>4</sub><sup>+</sup> (975±50), BaMoO<sub>3</sub><sup>+</sup> (637±50), BaMoO<sub>2</sub><sup>+</sup> (1642±50), BaMoO<sup>+</sup> (1486±50), Ba<sub>2</sub>MoO<sub>5</sub><sup>+</sup> (955±70), Ba<sub>2</sub>MoO<sub>4</sub><sup>+</sup> (839±70), Ba<sub>2</sub>Mo<sub>2</sub>O<sub>8</sub> (в скобках Пт появления ионов в кДж) — продукты ионизации трехкомпонентных молекул (Ba—Mo—O), образующихся вследствие хим. взаимодействия в-ва с материалом ячейки (Mo). Определены парц. давл. компонентов пара и с использованием

kp, ΔH

✓

(+3)

X. 1982, 19, N 15.

3-го закона термодинамики рассчитаны теплоты р-ций:  
 $Ba_2MoO_{5(r)} = BaO_{(r)} + BaMoO_{4(r)}$   $\Delta H_0^0 = 322 \pm 60$  кДж/моль  
и  $Ba_2Mo_2O_{8(r)} = 2BaMoO_{4(r)}$   $\Delta H_0^0 = 351 \pm 80$  кДж/моль.  
С привлечением лит. данных вычислены теплоты образо-  
вания  $\Delta H_{f,0}^0(Ba_2MoO_{5(r)}) = -146 \pm 70$  и  $\Delta H_{f,0}^0$   
 $(Ba_2MoO_{8(r)}) = -2393 \pm 90$  кДж/моль. Теплоты образования  
молекул  $BaMoO_2$  и  $Ba_2MoO_4$ , рассчитанные из Пт  
появления ионов, составили соотв.  $-577 \pm 70$  и  $-1343 \pm$   
 $\pm 115$  кДж/моль.

Автореферат

BaMoO<sub>2</sub>

077. 13799

1982

Ba<sub>2</sub>MoO<sub>4</sub>

96: 224188n Mass-spectrometric stability of gaseous molecules of barium molybdate (BaMoO<sub>2</sub>, Ba<sub>2</sub>MoO<sub>4</sub>, Ba<sub>2</sub>MoO<sub>5</sub>, Ba<sub>2</sub>Mo<sub>2</sub>O<sub>8</sub>). Kudin, L. S.; Balducci, Giovanni; Gigli, G.; Guido, Marcella (Ivanov. Khim.-Tekhnol. Inst., Ivanovo, USSR). *Izv. Vyssh. Uchebn. Zaved., Khim. Khim. Tekhnol.* 1982, 25(3), 259-63 (Russ). The mass spectrometry was used to study the evapn. of BaCrO<sub>4</sub> in equil. with ions like Cr<sup>+</sup>, Ba<sup>+</sup>, BaO<sup>+</sup>, BaMoO<sub>4</sub><sup>+</sup> etc. The heats of the reactions Ba<sub>2</sub>MoO<sub>5</sub> = BaO + BaMoO<sub>4</sub> and Ba<sub>2</sub>Mo<sub>2</sub>O<sub>8</sub> = 2BaMoO<sub>4</sub> (322 ± 60 and 351 ± 8 kJ/mol) were detd. The heats of formation of BaMoO<sub>2</sub>, Ba<sub>2</sub>MoO<sub>4</sub>, Ba<sub>2</sub>MoO<sub>5</sub>, and Ba<sub>2</sub>Mo<sub>2</sub>O<sub>8</sub> are -577 ± 70, -1343 ± 115, -1464 ± 70, and -2393 ± 90 kJ/mol, resp.

Ba<sub>2</sub>MoO<sub>5</sub>

Ba<sub>2</sub>Mo<sub>2</sub>O<sub>8</sub>

AfH;

C. A. 1982, 96, N 26.

Bailloly,

1982

Санкт-Петербург У. О., Казенное ФК.

9 Всес. конгр. по краевед-  
честву и земл. передвижкам.  
периодичн. Тбилиси, 14-16 сен., 1982.  
Членатель

Рассыпки, муз. горн. Тбили-  
си, 1982, 385.

(см. № 1104; ?)

BaMoO<sub>4</sub>

1983

12 Б2240. Выращивание кристаллов молибдата бария испарением флюса. Crystal growth of barium molybdate by flux evaporation. Агога S. K., Rao G. S. T. «Bull. Mater. Sci.», 1983, 5, № 5, 381—387 (англ.)

Изотермическим испарением LiCl при 700°С с предварит. гомогенизацией системы при 700°С выращены монокристаллы BaMoO<sub>4</sub> (I). После выдержки при 700°С в течение 12—50 ч. т-ру понижали до 500°С со скоростью 10 град/ч. Макс. размер кристаллов 11 мм. Найдено, что морфология кристаллов зависит от отношения I/LiCl. При весовом отношении I/LiCl, равном 10:7, получены бипирамидальные кристаллы I, при отношении 2:1 — пластинчатые. Средн. плотность дислокаций  $2 \cdot 10^3$  см<sup>-2</sup>. Кач-во кристаллов зависит от длительности процесса, кристаллы лучшего кач-ва получены при выдержке в режиме 12 часов.

Л. Н. Демьянец

X. 1986, 19, N2

Баланс 8

dm. 16258

1983.

9 Е663. Структурная неустойчивость фаз Шевреля.  
Смешанные сульфиды щелочноземельных металлов и  
молибдена. Structural instabilities of Chevrel phases: The  
alkaline earth molybdenum sulphide series. Lachal B.,  
Baillif R., Junod A., Muller J. «Solid State Com-  
tup.», 1983, 45, № 9, 849—851 (англ.)

Измерениями теплоемкости, электросопротивления и  
рентгеновскими исследованиями показано, что сульфиды  
 $\text{MeMo}_6\text{S}_8$  ( $\text{Me}=\text{Ba}, \text{Sr}, \text{Ca}, \text{Eu}$ ) претерпевают фазовые  
превращения в интервале 50—170 К. Превращение в  
 $\text{EuMo}_6\text{S}_8$  зависит от предыстории образца. В плавлен-  
ном материале превращение протекает в узком интерва-  
ле т-р и характеризуется высоким пиком  $C_p$ . В спе-  
ченном образце превращение наблюдается в широком  
интервале т-р и сопровождается небольшим пиком  $C_p$ .

Б. Могутнов

(13) 18

оп. 1983, 18, № 9

Sr Mo<sub>6</sub>S<sub>8</sub>,  
Ca Mo<sub>6</sub>S<sub>8</sub>, Eu Mo<sub>6</sub>S<sub>8</sub>



1984

Wingefeld G., Hoppe R.

Z. anorg. und allg.  
Petr. phys. Chem., 1984, 578,  
N 11, 149-160.

(cfr.  $\text{Ba}_2\text{WO}_3\text{F}_4$ ; I)

$Tl_2Ba(MoO_4)_2$

1986

106: 91053r Double molybdates of thallium(I) and divalent metals. Arkhincheeva, S. I.; Bazarova, Zh. G.; Mokhosoev, M. V. (Inst. Estestven. Nauk, Ulan-Ude, USSR). *Dokl. Akad. Nauk SSSR* 1986, 290(1), 120-3 [Chem.] (Russ). DTA and x-ray phase anal. of the  $MoO_3$  corner of  $MoO_3-Tl_2O-MO$  ( $M = Mg, Zn, Cu, Co, Ni, Cd, Mn, Sr, Ba$ ) showed that double molybdates are formed. These compds. include  $Tl_2Ba(MoO_4)_2$  (incongruently m. 700°),  $Tl_2M_2(MoO_4)_3$  ( $M = Mg, Mn, Ni, Co$ ) (incongruently m. 830-860°),  $Tl_2Zn(MoO_4)_3$  and  $Tl_2Zn_2(MoO_4)_3$  (incongruently m. 520, 500°, resp.), and  $Tl_2Cu(MoO_4)_3$  (incongruently m. 560°).

$Tl_2$

$Mg_2(MoO_4)_3$ ,

$Tl_2Ni_2(MoO_4)_3$ ,

(+4)  
☒  $Tl_2Ni_2(MoO_4)_3$ ,  $\bullet Tl_2Co_2(MoO_4)_3$

C.A. 1987, 106, n 12

BaMo<sub>6</sub>S<sub>8</sub>

1986

12 E879. Фазовый переход в BaMo<sub>6</sub>S<sub>8</sub> из ромбоэдрической фазы в триклинную. Rhombohedral-to-triclinic phase transition in BaMo<sub>6</sub>S<sub>8</sub>. Jorgensen James D., Hinks David G. «Physica», 1986, BC136, № 1—3, 485—488 (англ.)

Нейтронографически исследована структура соединения в диапазоне т-р 19—295 К. Вблизи  $T_c \approx 175$  К наблюдается фазовый переход из высокотемпературной ромбоэдрич. модификации (пр. гр.  $\bar{R}\bar{3}$ ) в триклинную (пр. гр.  $\bar{P}1$ ). Переход, согласно теории Ландау, относится к первому роду, однако скачок удельного объема при  $T_c$  в пределах точности эксперимента не обнаружен. В триклинной фазе наблюдается искажение кластеров Mo<sub>6</sub>S<sub>8</sub> в результате изменения длин связей Mo—Mo и Mo—S. Это обстоятельство, возможно, является причиной отсутствия у соединения сверхпроводящих свойств.

Б. Г. Алапин

φ. 1986, 18, N 12.

*Ba MoO<sub>4</sub>*

*1986*

*тепловое  
расширение*

) 12 E355. Высокотемпературное тепловое расширение некоторых молибдатов шеелитного типа. High temperature thermal expansion of some scheelite-type molybdates. Sadanandam J., Suryanarayana S. V. «J. Less-Common Metals», 1986, 119, № 2, L1—L4 (англ.)

Тепловое расширение VaMoO<sub>4</sub> исследовано методом порошковой рентгенографии в интервале т-р от 300 до 620 К. Установлено, что тепловое расширение BaMoO<sub>4</sub>, как и всех изоструктурных соединений этого типа подчиняется «закону слоев». Температурная зависимость  $\alpha_a$  и  $\alpha_c$  для BaMoO<sub>4</sub> представлена в виде:  $\alpha_0 = 6,12 \cdot 10^{-6} + 5,42 \cdot 10^{-9}t + 7,95 \cdot 10^{-12}t^2$  и  $\alpha_c = 9,07 \cdot 10^{-6} + 8,41 \cdot 10^{-9}t + 36,90 \cdot 10^{-12}t^2$ , где  $t$  — т-ра по шкале Цельсия. Особенности теплового расширения объясняются деформацией тетраэдров VO<sub>4</sub><sup>n-</sup> вдоль оси 4-го порядка. Проводится сопоставление теплового расширения BaMoO<sub>4</sub> и 5 других молибдатов. А. П. Рыженков

*Ф. 1986, 18, N 12.*

*BaMo<sub>4</sub>*

1986

23 Б2046. Тепловое расширение при высокой температуре некоторых молибдатов со структурой типа шеелита. High temperature thermal expansion of some scheelite-type molybdates. Sadanandam J., Suryanarayana S. V. «J. Less-Common Metals», 1986, 119, № 2, L1—L4 (англ.)

Рентгенографически прослежено (метод порошка, высокот-рная съемка) расширение решетки BaMoO<sub>4</sub> (I) при т-рах до 450° С. Параметры тетрагон. решетки: 30° С  $a = 5,5794$ ,  $c = 12,8294$  Å; 450° С  $a = 5,5972$ ,  $c = 12,9035$ . Анизотропный характер расширения решетки I:  $\alpha_a = 6,12 \cdot 10^{-6} + 5,42 \cdot 10^{-9} T + 7,95 \cdot 10^{-12} T^2$  и  $\alpha_c = 9,07 \cdot 10^{-6} + 8,41 \cdot 10^{-9} T + 36,90 \cdot 10^{-12} T^2$  — полностью аналогичен характеру теплового расширения решеток изоструктурных I молибдатов и вольфраматов и обусловлен слоистым строением.

С. В. Соболева

*тепловое  
расширение*

X. 1986, 19, N 23

Валюч

Dr. 28129

1987

5 Б3026. Термодинамические свойства соединений щелочноземельных элементов с другими продуктами радиоактивного деления. Thermodynamic properties of compounds of alkaline earth elements with other fission products. Saha Rita, Babu R., Nagarajan K., Mathews C. K. «Thermochim. acta», 1987, 120, 29—39 (англ.)

Теплосодержание BaMoO<sub>4</sub> (I), BaCeO<sub>3</sub> (II) и (Ba, Sr)<sub>0,5</sub>ZrO<sub>3</sub> (III) измерено с использованием дифференциального калориметра НТ-1500, Сетарам в интервалах 986—1732 К, 1063—1725 К и 1034—1743 К, соотв. с точностью 1—3%. Исследование проведено с целью установления термодинамич. функций продуктов распада ядерного топлива в бридерных реакторах. В продуктах деления при сгорании 10% ядерного топлива содержатся в заметных кол-вах ~2%, Ba, Sr, Zr и 0,4% Ce, образующих в различных частях реакторов цирконаты, молибдаты и цераты щел. металлов. Опыт-

4-Н<sub>0</sub>, Ср

72

X. 1988, 19, NS

ные данные аппроксимированы ур-ниями: для I  $H_t - H_{298}$  I (Дж/моль) =  $129,3933T + 16,8144 \cdot 10^{-3}T^2 + 14,662 \cdot 10^5 \cdot T^{-1} - 44990,96$ ; для II  $H_t - H_{298}$  (Дж/моль) =  $120,8973T + 6,5056 \cdot 10^{-3} \cdot T^2 + 12,1336 \cdot 10^5 T^{-1} - 40693,49$ ; для III  $H_t - H_{298}$  (Дж/моль) =  $116,26859T + 6,6138 \cdot 10^{-3}T^2 + 15,7009 \cdot 10^5 T^{-1} - 40519,49$ . С использованием лит. данных вычислены  $-\Delta_f G$  (кДж/моль, 1000 К) соединений из простых оксидов 245,446 для I и 49,308 для II. Для р-ции диссоциации двойных оксидов в интервале 500—2000 К вычислены давл. бария  $P(\text{Ba})$ . Наиболее низкие  $P(\text{Ba})$  установлены для процесса диссоциации III.

Л. А. Резницкий

*Ba<sub>5</sub>(Mo<sub>4</sub>O<sub>6</sub>)<sub>8</sub>*

1986

20 Б2036. Синтез и структура Ba<sub>5</sub>(Mo<sub>4</sub>O<sub>6</sub>)<sub>8</sub>: соединение со структурным типом NaMo<sub>4</sub>O<sub>6</sub> и сверхструктурой ионов бария. Synthesis and structure of Ba<sub>5</sub>(Mo<sub>4</sub>O<sub>6</sub>)<sub>8</sub>: a compound having the NaMo<sub>4</sub>O<sub>6</sub> structure type and superlattice ordering of barium ions. Тогагди C. C., McCarley R. E. «J. Less-Common Metals», 1986, 116, № 1, 169—186 (англ.)

Синтезировано (сплавлением спрессованной смеси BaMoO<sub>4</sub>, MoO<sub>2</sub> и Mo при т-ре 1100°С) и рентгенографически изучено ( $\lambda$  Mo,  $R$  0,064 для 639 отражений) соединение Ba<sub>5</sub>(Mo<sub>4</sub>O<sub>6</sub>)<sub>8</sub>. Параметры ромбич. решетки:  $a$  9,517,  $b$  9,822,  $c$  22,813 Å,  $Z$  16, ф. гр. *Pbam*. Структура представляет собой ромбически искаженную сверхструктуру от тетрагона. СТ NaMo<sub>4</sub>O<sub>6</sub> с 8-кратным увеличением трансляции вдоль оси  $c$ . Структура содержит октаэдрич. кластеры из атомов Mo, в к-рых каждый атом Mo находится в октаэдрич. координации (Mo—Mo 2,785—3,988, Mo—O 2,022—2,084). Кластеры соединяются ребрами октаэдров Mo—Mo и O—O с

*Синтез  
и  
Структура*

*X. 1986, 19, N 20*

образованием бесконечных цепочек, проходящих вдоль оси *c*. Цепочки дополнитель но связаны между собой мостиковыми атомами О с образованием замкнутых каналов, пронизывающих структуру вдоль оси *c*. Атомы Ва упорядоченно распределены по 5 из 8 структурных положений внутри каналов, чем обусловлено возникновение сверхструктуры; координация Ва — 8-кратная в виде уплощенного вдоль оси *c* параллелограмма (Ва — О 2,607—3,791 Å). С. В. Соболева



BaMoO<sub>4</sub>

[Om - 28129]

1987

108: 27601g Thermodynamic properties of compounds of alkaline earth elements with other fission products. Saha, Rita; Babu, R.; Nagarajan, K.; Mathews, C. K. (Radiochem. Programme, Indira Gandhi Cent. At. Res., Kalpakkam, 603 102 India). *Thermochim. Acta* 1987, 120, 29-39 (Eng). The alk. earth fission products Ba and Sr can combine with other major fission product elements such as Mo, Ce and Zr in a mixed oxide fuel pin of a fast breeder reactor to form compds. such as molybdates, cerates and zirconates. In order to understand the condition of their formation in the fuel pin basic thermodn. data on these compds. applicable to the relevant temp. range are required. Enthalpy increments of BaMoO<sub>4</sub>, BaCeO<sub>3</sub> and (Ba,Sr)ZrO<sub>3</sub> were detd. relative to room temp. by using a high-temp. differential calorimeter. The exptl. measured enthalpy data covered the temp. range of 985-1750 K. From these enthalpy values other thermodn. functions such as heat capacities, entropies and free energy functions were generated by using  $C_p^{298^0}$  and  $S^{298^0}$  values of the compds. available in the literature. The free energies of formation of these compds. and the equil. Ba partial pressures for the formation reactions were computed in the temp. range of 500-2000 K and in the O potential range of -376.56 to -502.08 kJ/mol.

H<sub>T</sub> - H<sub>O</sub>

(f2)

(X)

C.A. 1988, 108, N14

BaMo<sub>6</sub>O<sub>10</sub>

1988

15 Б2022. Зигзагообразные октаэдрические кластерные цепи в BaMo<sub>6</sub>O<sub>10</sub>. Zigzag octahedral cluster chains in BaMo<sub>6</sub>O<sub>10</sub> / Lii K. H., Wang C. C., Wang S. L. // J. Solid State Chem. — 1988. — 77, № 2. — С. 407—411.— Англ.

Методом РСТА изучено строение BaMo<sub>6</sub>O<sub>10</sub> (I) ( $\lambda$ Mo, 652 отражения,  $R$  0,0438,  $R_w$  0,0401), полученного из BaMoO<sub>4</sub>, MoO<sub>3</sub>, металлич. Mo (мол. отношение соотв. 1 : 1 : 1) при 1200°С в запаянной ампуле. Для ромбич. I  $a$  10,154,  $b$  8,641,  $c$  9,184 Å,  $Z$  4,  $\rho$  (выч.) 7,20, ф. гр.  $Pnma$ . В I зигзагообразные цепочки из кластеров Mo<sub>6</sub>O<sub>12</sub>, вытянутые вдоль [010] (Mo—O 1,93—2,16, Mo—Mo 2,668—3,015), перекрещиваются, образуя каналы, в к-рых расположены Ba<sup>2+</sup> (Ba—O 2,76—2,99 Å). Показано, что валентные электроны Mo идут на связь Mo—Mo и Mo—O.

Т. А. Топоренская

Структура

X. 1989, N 15.

$\text{BaMo}_6\text{S}_8$  1990

Kerbel P., Yvon K.

Seta crystallogr. C.

1990. 46, N<sup>o</sup>. C. 181-186.

T<sub>tz</sub>,

сингуляр.

(сес.   $\text{EuMo}_6\text{S}_8$ ; ?)

*BaMo<sub>2</sub>P<sub>4</sub>O<sub>14</sub>*

*1992*

14 В3. Новый фосфат трехвалентного молибдена:  
 $\text{BaMo}_2\text{P}_4\text{O}_{14}$ , изоструктурный с  $\text{BaM}_2\text{P}_4\text{O}_{14}$  ( $\text{M}=\text{Ti}^{3+}, \text{V}^{3+}$ ).  
A new molybdenum(III) phosphate:  $\text{BaMo}_2\text{P}_4\text{O}_{14}$  isotypic  
with  $\text{BaM}_2\text{P}_4\text{O}_{14}$  ( $\text{M}=\text{Ti}^{\text{III}}, \text{V}^{\text{III}}$ ) /Leclaire A., Chardon J.,  
Borel M. M., Grandin A., Raveau B. //Z. anorg. und allg.  
Chem. — 1992 .— 617 , № 11 .— С. 127—130 .— Англ. ;рез.  
нем.

Описан синтез нового дифосфата молибдена(3+) со-  
става  $\text{BaMo}_2\text{P}_4\text{O}_{14}$  (I). Выполнен РСТА I [614 отражений с  
 $I > 3\sigma$  (I),  $R = 0,043$ ,  $R_w = 0,045$ ]. Кристаллы I монокл., а  
10,8135(8),  $b$  10,6407(7),  $c$  9,8210(6) Å,  $\beta$  103,629(7)°,  $\rho$   
(расч.) 4,09,  $\rho$  (эксперим.) 4,16(8) г/см<sup>3</sup>,  $Z = 4$ , пр. гр.  
C2/c. Анализ структуры I указывает на его изоструктур-

*структура*



*X. 1993, N 14*

ность с известными  $\text{BaM}_2\text{P}_4\text{O}_{14}$  ( $M=\text{Ti}^{3+}$  и  $\text{V}^{3+}$ ). Структура I описана на основе существования оригинальных фрагментов  $\text{MoP}_4\text{O}_{16}$ , образованных двумя бидентатными группами  $\text{P}_2\text{O}_7$ , связанными с октаэдром  $\text{MoO}_6$ . Отмечено, что каркас  $[\text{Mo}_2\text{P}_4\text{O}_{14}]_\infty$  не образует туннелей (как считалось ранее), но содержит большие «клетки», в к-рых локализованы катионы бария. Обсуждены особенности строения I.

BaMoO<sub>3</sub>(s)

Om 37462 1993

120: 63587p The standard molar Gibbs energy of formation of barium molybdate (BaMoO<sub>3</sub>(s)). Dash, Smruti; Singh, Ziley; Prasad, Rajendra; Sood, D. D. (Fuel Chem. Div., Bhabha At. Res. Cent., Bombay, 400085 India). *J. Nucl. Mater.* 1993, 207 350-2 (Eng). The std. molar free energy of formation of BaMoO<sub>3</sub> was derived from measuring Ba(g) potentials over the quaternary mixt. BaMoO<sub>3</sub> + Mo + Cr + Cr<sub>2</sub>O<sub>3</sub>. The heat and entropy of formation were also detd.

(Δ<sub>f</sub>G, Δ<sub>f</sub>H,  
Δ<sub>f</sub>S)

C.A. 1994, 120, N6

BaMoO<sub>3</sub>(s)

1993

122: 90667n Use of micro-balance for the measurement of free energy of formation of BaMoO<sub>3</sub>(s). Dash, Smruti; Singh, Ziley; Prasad, R.; Sood, D. D. (Fuel Chemistry Division, Bhabha Atomic Division, Bombay, 400085 India). Proc. Natl. Symp. Therm. Anal., 9th 1993, 586-9 (Eng). Edited by Ravindran, P. V. Indian Therm. Anal. Soc.: Bombay, India. The std. molar Gibbs free energy of formation,  $\Delta_f G^\circ(T)$ , of BaMoO<sub>3</sub>(s) was obtained by measuring Ba(g) pressures over (BaMoO<sub>3</sub> + Cr + Cr<sub>2</sub>O<sub>3</sub> + Mo) in the temp. range 1192-357.5 K by the Knudsen effusion technique using a Setorius micro-balance. The std. molar Gibbs free energy of formation of BaMoO<sub>3</sub>(s) can be represented by: the expression:  $\Delta_f G^\circ(\text{BaMoO}_3, s, = T)/(kJ/mol) \pm 3.2 = -1256.1 + 0.2922(T/K)$ .

(46)

C. J. 1995, 122, N8

ВаMoO<sub>3</sub>

Он 37462 1993

22 Б3036. Стандартная мольная энергия образования Гиббса BaMoO<sub>3</sub>(s). The standard molar Gibbs energy of formation of BaMoO<sub>3</sub>(s) /Dash Smruti, Singh Ziley, Prasad Rajendra, D. D. Sood //J. Nucl. Mater. .—1993 .—207 .—С. 350—352 .—Англ.

Термодинамические св-ва BaMoO<sub>3</sub> (I) определены эффузионным методом Кнудсена с использованием смеси I + Cr + Mo + Cr<sub>2</sub>O<sub>3</sub>. Состав смеси после проведения опытов по испарению Ba по р-ции I + 2Cr = Ba(g) + Mo(cr) + Cr<sub>2</sub>O<sub>3</sub>(cr). Эксперим. данные аппроксимированы ур-нием  $\lg(P_{Ba}/\text{кПа}) + 0,02 = 9,02 - 16983,8/T \text{ (К)}$ ,  $\Delta_f G = -1256,1 + 0,2922 T, \text{ кДж/моль}$ . Энталпия образования I вычислена с использованием термодинамич. ф-ций I, Ba, Mo, O<sub>2</sub>  $\Delta_f H_{298} = -1266,3 \pm 1,0 \text{ кДж/моль}$ ,  $S_{298} = 102,3 \text{ Дж/К моль}$ . Отличия от ранее опубликованных данных Резухиной и Левицкого могут быть вызваны различными оценками C<sub>p</sub> I.

Л. А. Резницкий

( $K_p$ ,  $\Delta H_f$ ,  $C_p$ )

Х. 1994, № 22

Ба МоО<sub>4</sub>

$$\Delta H_f = -370 \text{ кДж/моль}$$

Дж/л.

1993

13 Б3018. Стандартные молярные энталпии образования при температуре  $T=298,15$  К молибдата бария  $\text{BaMoO}_4$  (крист.) и молибдата стронция  $\text{SrMoO}_4$  (крист.). The standard molar enthalpies of formation at the temperature  $T=298.15$  K of barium molybdate  $\text{BaMoO}_4(\text{cr})$  and strontium molybdate  $\text{SrMoO}_4(\text{cr})$  /Shukla N. K., Prasad Rajendra, Sood D. D. //J. Chem. Thermodyn. .—1993 .—25 , № 3 .—C. 429—434 .—Англ.

На основе измерений теплот осаждения молибдатов Ba и Sr вследствие р-ции между крист.  $\text{Na}_2\text{MoO}_4$  и аммиачными р-рами нитрата Ba или Sr в изопериболич. калориметре р-рения при 298,15 К определены станд. мол. энталпии образования крист.  $\text{BaMoO}_4$  (I) и  $\text{SrMoO}_4$  (II). Станд. мол. энталпии образования крист. нитратов Ba, Sr и Na, необходимые для расчета значений  $\Delta_f H^\circ$  I и II, определяли на основе измерений их мол. энталпий р-рения при 298,15 К в дистиллированной воде:  $\Delta_f H^\circ \{\text{Ba}(\text{NO}_3)_2\} = -993,1 \pm 0,9$ ,  $\Delta_f H^\circ \{\text{Sr}(\text{NO}_3)_2\} = -977,4 \pm 0,9$  и  $\Delta_f H^\circ (\text{NaNO}_3) = -468,3 \pm 0,5$  кДж/моль. С использованием результатов измерений найдено, что  $\Delta_f H^\circ (\text{I}, \text{Cr}, 298,15 \text{ K}) = -(1547,8 \pm 3,6)$  кДж/моль и  $\Delta_f H^\circ (\text{II}, \text{Cr}, 298,15 \text{ K}) = -(1543,8 \pm 3,6)$  кДж/моль.

В. Ф. Байбуз

Х. 1994, N 13

BaMoO<sub>4</sub>(L)

1993

$\Delta H_f = -370 \text{ kJ/mole}$

(ΔfH)

118: 177602h The standard molar enthalpies of formation at the temperature T = 298.15 K of barium molybdate BaMoO<sub>4</sub>(cr) and strontium molybdate SrMoO<sub>4</sub>(cr). Shukla, N. K.; Prasad, Rajendra; Sood, D. D. (Fuel Chem. Div., Bhabha At. Res. Cent., Bomban, 400 055 India). *J. Chem. Thermodyn.*, 1993, 25(3), 429-34 (Eng). The std. molar heats of formation,  $\Delta_f H^\circ_m$ , at T = 298.15 K of BaMoO<sub>4</sub>(cr) and SrMoO<sub>4</sub>(cr) were detd. by measuring the heats of pptn. of these molybdates due to the reaction between Na<sub>2</sub>MoO<sub>4</sub>(cr) and ammoniacal solns. of barium or strontium nitrate in an isoperibol soln. calorimeter. The  $\Delta_f H^\circ_m$  values for BaMoO<sub>4</sub>(cr) and SrMoO<sub>4</sub>(cr) are  $-(1547.8 \pm 3.6)$  and  $-(1543.5 \pm 3.6)$  kJ/mol. resp.

(+) 87 SrMoO<sub>4</sub>(K)

c.A. 1993, 118, N18

BaMo<sub>3</sub>

1995

BaMo<sub>3</sub>, Matsui Tunes.

Thermochim. Acta

$\Delta_f H$  1995, 253, 155-65.

(cell. Ba<sub>2</sub>Mo<sub>3</sub>; ?)

1997

BaMo<sub>2</sub>O<sub>7</sub>  
(b)  
'Sfb')

128: 249236u Molar Gibbs energy of formation of BaMo<sub>2</sub>O<sub>7</sub>(s) using the solid oxide galvanic cell method. Singh, Ziley; Dash, Smruti; Prasad, Rajendra; Venugopal, V. (Fuel Chemistry Division, Bhabha Atomic Research Centre, Mumbai, 400 085 India). *J. Solid State Chem.* 1997, 134(2), 416-419 (Eng), Academic Press.  $\Delta_f G^\circ$ -(BaMo<sub>2</sub>O<sub>7</sub>, s, T) has been detd. using the emf. technique. The cell used was: (-)Pt/(BaMo<sub>2</sub>O<sub>7</sub>(s)+BaMoO<sub>4</sub>(s) +MoO<sub>2</sub>(s))/CSZ//air (pO<sub>2</sub>(g) = 21.21 kPa)/Pt(+). The obsd. emfs. in the temp. range 828-985 K could be represented by  $E = 0.7663 - 4.953 \times 10^{-4}T (\pm 0.001)$  V. The std. molar Gibbs energy of formation of BaMo<sub>2</sub>O<sub>7</sub>(s) was evaluated from emf. values and the  $\Delta_f G^\circ(T)$  of BaMoO<sub>4</sub>(s) and MoO<sub>2</sub>(s). The corresponding expression is given as  $\Delta_f G^\circ(\text{BaMo}_2\text{O}_7, \text{s}, T) = -2269.7 + 0.6173T (\pm 5.1)$  kJ mol<sup>-1</sup>. Using the required literature values, the  $\Delta_f H^\circ(\text{BaMo}_2\text{O}_7, \text{s}, 298.15 \text{ K})$  was calcd. by the second-law method and the corresponding value is -2291.2 kJ mol<sup>-1</sup>. The present study is the first exptl. work for the detn. of  $\Delta_f G^\circ(\text{BaMo}_2\text{O}_7, \text{s}, T)$ .

C.A. 1998, 128, N20

Ba Mo O<sub>4</sub> (K)

1998

$\Delta H_f^\circ = -367.3$  kJ/mole

128: 313542v Thermochemical studies on BaMoO<sub>4</sub>(s). Singh, Ziley; Dash, Smruti; Prasad, R.; Venugopal, V. (Fuel Chemistry Division, Bhabha Atomic Research Centre, Trombay, 400 085 India). *J. Alloys Compd.* 1998, 266(1-2), 77-80 (Eng), Elsevier Science S.A.. The std. molar Gibbs energy of formation of BaMoO<sub>4</sub>(s) was detd. by measuring emf. of the cell: Pt/BaMoO<sub>3</sub>(s) + BaMoO<sub>4</sub>(s)/CSZ/air ( $p(O_2) = 21.21$  kPa)/Pt where CSZ represents 15 mol% CaO stabilized zirconia. Emf. measurements were carried out at 1091-1309 K and its dependence on temp. could be represented by:  $E(V) \pm 0.001 = 1.482 - 3.600 \times 10^{-4}T(K)$ . Using the Gibbs energy data on BaMoO<sub>3</sub>(s) from the authors' previous study along with the above emf. data, the  $\Delta_f G_m^\circ(T)$  for BaMoO<sub>4</sub>(s) is:  $\Delta_f G_m^\circ(\text{BaMoO}_4, s, T)(\text{kJ mol}^{-1}) \pm 4.7 = -1542.0 + 0.3552T(K)$ .  $\Delta_f H_m^\circ(298.15 \text{ K})$  is calcd. by the 2nd-law method using the relevant heat capacity data and the variation of  $\Delta_f G_m^\circ(\text{BaMoO}_4, s, T)$  with temp. and the value is  $-(1557.5 \pm 3.6) \text{ kJ mol}^{-1}$ . The 3rd-law values of  $\Delta_f H_m^\circ(298.15 \text{ K})$  at each exptl. temp. were also calcd. from free enthalpy functions  $-\{(G^\circ(T) - H^\circ(298.15 \text{ K})) / T\}$  reported in the literature. The mean  $\Delta_f H_m^\circ(298.15 \text{ K})$  value by this method is  $-(1536.8 \pm 5.2) \text{ kJ mol}^{-1}$ .

( $\Delta_f f, \Delta_f H_{298}$ )

C.A. 1998

128, No 25

Ba Mo<sub>2</sub>O<sub>7</sub>(<sup>3</sup>) } DM. 39305.a" ] 1997

Ziley Singh, Smruti  
Dash et al.,

158, g. solid state Chem.,  
1997, 134, 416 - 419.

Molar Gibbs Energy of  
Formation Ba Mo<sub>2</sub>O<sub>7</sub>(<sup>3</sup>)

Using the solid Oxide  
galvanic cell Method.

$\text{BaMoO}_4$  ( $\kappa_f$ )

1998

( $\Delta G_f$ ,  $\Delta H_f$ ) Singh Z. et al.

J. Alloys and Comp., 1998, 266, 77-80

Термокинетическое изучение  $\text{BaMoO}_4$  (3)

$$\boxed{\Delta G_f(\text{BaMoO}_4) = -1542,0 + 0,3552 T (\text{K})}$$

Метод ЗФС

$$\Delta H_f(298) = -1547,8 \pm 4,4$$

BaMoO<sub>4</sub>

1999

F: BaMoO<sub>4</sub> (Структура, сб-лн)

P: 1 01.05-19B2.11. Нейтронодифракционное исследование кристаллической структур BaMoO<sub>4</sub>: подходящего прекурсора для металлического перовскита BaMoO<sub>3</sub>. Neutron diffraction study of the crystal structure of BaMoO<sub>4</sub>: A suitable precursor for metallic BaMoO<sub>3</sub> perovskite / Nassif Vivian, Carbonio Raul // J. Solid State Chem. - 1999. - 146, N 1. - С. 266-270. - Англ.

Поликристаллические образцы BaMoO<sub>4</sub> получены с использованием водных рас (NH<sub>4</sub>)<sub>2</sub>MoO<sub>4</sub> и BaCl<sub>2</sub>. Для получения BaMoO<sub>3</sub> провели отжиг BaMoO<sub>4</sub> токе H<sub>2</sub>/N<sub>2</sub> (5%:95%) при 1150°C 12 ч. По нейтронодифракционным данным уточнено строение BaMoO<sub>4</sub> (295 K, R[p] 1,60%, тетрагональная решетка, Ф. I 4[1]/a, Z 4, a 5,5479, c 12,743 Å). Атомы Ba окружены атомами O по типу искаженного куба, межатомные расстояния Ba-O составляют 2,764 и

Структура  
сб-лн

2,716 A. данные термического анализа в токе H<sub>2</sub>  
свидетельствуют о том, что восстановление BaMoO<sub>4</sub>[4]  
до BaMoO<sub>3</sub>[3] происходит при температуре выше 920°C

Ba Mo O<sub>3</sub>

2000

H<sub>T</sub>-H<sub>298</sub>  
при  
477-1010K  
 $\Delta H_f$

F: BaMoO<sub>3</sub> (H<sub>T</sub>-H<sub>298</sub>) при 477-1010K,  $\Delta H_f$   
P: 1

02.13-19Б3.24. Калориметрические исследования соединений SrMoO[3] и BaMoO Calorimetric investigations of SrMoO[3] and BaMoO[3] compounds / Agarwal Singh Ziley, Venugopal V. // BARC. [Rept] : Bhabha Atomic Research Centre (BARC). - 2000. - N P/003. - С. 79-84. - Англ.

С использованием высокотемпературного калориметра Кальве и метода капельн вбрасывания измерены значения инкремента энталпии (H[T]-H{0})[298,15K] твердого SrMoO[3] в интервале температур 426,2-1010,8 К и для твердого BaMoO[3] в интервале температур 477,8-1010,8 к. Получены уравнения, описывающие температурные зависимости энталпии: для твердого SrMoO[3] H{0}[T]-

$H(0)[298,15K]$  (Дж/моль)  $'+-'1143=-29291('+-2963)+91,942('+-'9,034)T+0,0264('+-'0,066)*1$  {2} и для твердого BaMoO[3]  $H(0)[T]-H(0)[298,15K]$  (Дж/моль)  $'+-812=-31427$   $('+-'2279)+97,977('+-'6,977)T+0,0275('+-'0,050)T{2}$ . На основе полученных литературных данных определены температурные зависимости теплоемкости, энталпии образования, энергии Гиббса образования и энтропии при температ 298,15 К твердых SrMoO[3] и BaMoO[3]. Библ.

BaMoO<sub>4</sub>

F: BaMoO<sub>4</sub>  
P: 1 (эдс, ΔH<sub>f</sub>)

2002

02.13-1953.31. Термохимические исследования твердого BaMoO<sub>4</sub>[4]. Thermochem studies on BaMoO<sub>4</sub>(s) / Singh Ziley, Dash Smruti, Prasad R., Venugopal V BARC. [Rept] : Bhabha Atomic Research Centre (BARC). - 2000. - N P/003. 91-92. - Англ.

ЭДС,  
ΔH<sub>f</sub>

Посредством измерения э.д.с. элемента Pt/BaMoO<sub>3</sub>(s)+BaMoS<sub>4</sub>(s)/CSZ/воздух [P(O<sub>2</sub>)=21,21 и Pa/Pt (где CSZ - ок циркония, стабилизированный оксидом кальция) в интервале температур 1091К определена энергия Гиббса образования твердого BaMoO<sub>4</sub>\*'ДЕЛЬТА'[f]Gp(BaMoO<sub>4</sub>s). Найдено, что 'ДЕЛЬТА'[f]Gp[m] (BaMoO<sub>4</sub> T) (кДж\*моль{-1})'+-'4,7=-1542,0+0,3552 Т. Методом, основанным на втором законе термодинамики, рассчитана энталпия образования 'ДЕЛЬТА'[f]H<sub>p</sub>[m] (BaMoO<sub>4</sub>, s, 298,15 K)=-1557,5'+-'3,6 кДж\*моль{-1}. Расч основании третьего закона, дал значение 'ДЕЛЬТА'[f]H<sub>p</sub>[m] (BaMoO<sub>4</sub>, s, 298 K)=-1536,8'+-'5,2 кДж\*моль{-1}. Полученные значения 'ДЕЛЬТА'[f]Gp[m] (BaMo s, T) сравнены с имеющимися литературными данными. Библ. 10.

BaMoO<sub>4</sub>

2000

Hg-H<sub>298</sub>

300-1020K

F: BaMoO<sub>4</sub> (Hg-H<sub>298</sub>), 300-1020K  
P: T =

02.13-19Б3.32. Измерения инкрементов энталпии твердых SrMoO[4] и BaMoO[4] Enthalpy increment measurements of SrMoO[4](s) and BaMoO[4](s) / Singh Zi Dash Smruti, Prasad R., Venugopal V. // BARC. [Rept] : Bhabha Atomic Rese Centre (BARC). - 2000. - N P/003. - С. 93-95. - Англ.

С использованием высокотемпературного калориметра Кальве измерены значения инкрементов энталпии твердых SrMoO[4] и BaMoO[4] в интервале температур 299-1020,3 К. Из результатов измерений инкрементов энталпии при низких температурах определены

значения теплоемкости  $C_p[r,m]$  (298,15 К), равные 116,96 и 122,23 Дж $\cdot$ К $^{-1}$  $\cdot$ моль $^{-1}$  для твердых SrMoO[4] и BaMoO[4] соответственно. На основе результатов измерений получены выражения для температурной зависимости энталпии в интервале температур 299,0-1020,3 К твердого SrMoO[4]  $H_p(T) - H_p(298,15 \text{ K})$  (Дж $\cdot$ моль $^{-1}$ ) = 126,810  $T + 24,571 \cdot 10^{-3} T^2 + 21,782 \cdot 10^5 / T - 47299$ , и для твердого BaMoO[4]  $H_p(T) - H_p(298,15 \text{ K})$  моль $^{-1}$ ) = 136,280  $T + 15,122 \cdot 10^{-3} T^2 + 20,502 \cdot 10^5 / T - 48852$ . Библ. 10.